



全品 主编 肖德好 QUANPIN
TESEZHUANXIANG
特色专项

小题快练+大题冲关



第一部分 小题快练

小题快练 1	专 01 / 答 65	小题快练 9	专 25 / 答 70
小题快练 2	专 04 / 答 65	小题快练 10	专 28 / 答 70
小题快练 3	专 07 / 答 66	小题快练 11	专 31 / 答 71
小题快练 4	专 10 / 答 67	小题快练 12	专 34 / 答 72
小题快练 5	专 13 / 答 67	小题快练 13	专 37 / 答 72
小题快练 6	专 16 / 答 68	小题快练 14	专 40 / 答 73
小题快练 7	专 19 / 答 68	小题快练 15	专 43 / 答 74
小题快练 8	专 22 / 答 69	小题快练 16	专 46 / 答 74

第二部分 大题冲关

大题冲关 1	专 49 / 答 75	大题冲关 9	专 57 / 答 77
大题冲关 2	专 50 / 答 75	大题冲关 10	专 58 / 答 77
大题冲关 3	专 51 / 答 75	大题冲关 11	专 59 / 答 77
大题冲关 4	专 52 / 答 76	大题冲关 12	专 60 / 答 77
大题冲关 5	专 53 / 答 76	大题冲关 13	专 61 / 答 78
大题冲关 6	专 54 / 答 76	大题冲关 14	专 62 / 答 78
大题冲关 7	专 55 / 答 76	大题冲关 15	专 63 / 答 78
大题冲关 8	专 56 / 答 77	大题冲关 16	专 64 / 答 78

小题快练 1

时间:30分钟 分值:45分

[2024·山东日照二模] 俄罗斯人口分布很不均衡,“圣彼得堡—图瓦线”是俄罗斯的人口分界线。下表示意俄罗斯2002年到2017年人口变化。据此完成1~3题。

区域	2002年		2017年		
	数量(10 ⁴ 人)	密度(人/千米 ²)	数量(10 ⁴ 人)	密度(人/千米 ²)	
俄罗斯	14 518.2	8.5	14 688.0	8.6	
联邦区	中央	3 799.1	58.4	3 931.1	60.5
	西北	1 398.6	8.3	1 395.2	8.3
	南部	2 291.4	38.9	1 644.2	36.7
	北高加索			982.4	57.6
	伏尔加	3 115.8	30.0	2 954.3	28.5
	乌拉尔	1 238.2	6.9	1 235.6	6.8
	西伯利亚	2 006.4	3.9	1 928.8	3.7
	远东	668.7	1.1	616.5	1.0

注:空格处数据暂缺。

- 俄罗斯“圣彼得堡—图瓦线” ()
 - 呈东北—西南走向
 - 西侧区位条件优越
 - 与亚欧分界线重合
 - 东侧区际联系便捷
- 从2002年到2017年,俄罗斯人口的变化特点是 ()
 - 人口分布趋向均衡
 - 人口数量为负增长
 - 人口重心向西移动
 - 人口向边疆区迁移
- 为改变俄罗斯远东地区农业人口减少的现状,当地需要 ()
 - 倡导土地流转,实现粮食生产集约化
 - 加强农业机械化,提高农业生产效率
 - 增加粮食进口量,稳定粮食供应市场
 - 加强农业技术指导,实现农业多种经营

[2024·湖北 T8 联盟二模] 市域铁路是介于城际干线铁路和城市轨道交通(主要指地铁)之间的一种轨道交通形式。市域铁路日本东京山手线建成于1925年,围绕东京中心城区采用双环线(内环和外环)运营,运行1圈的时间约为1小时,途经多个重要换乘点,由此可连接其他市域铁路,向市区以外的地区延伸,形成“环形+放射状”模式。经过多年发展,山手线已成为东京中心城区与市郊地带的分界,东京形成“一核七心”(一个核心、七个副都心)的城市结构。下图示意日本东京“一核七心”的城市结构及山手线双环线运营方式。完成4~6题。

班级

姓名

题号
答题区

1

2

3

4

5

6

7

8

9

10

11

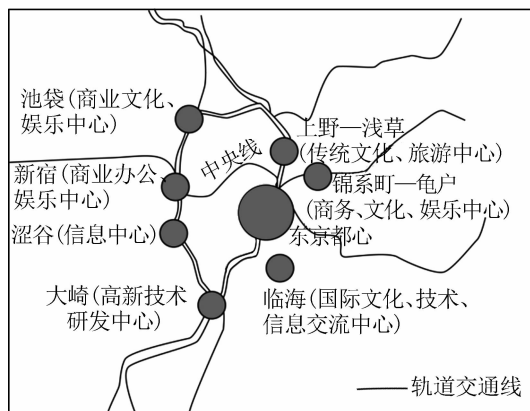
12

13

14

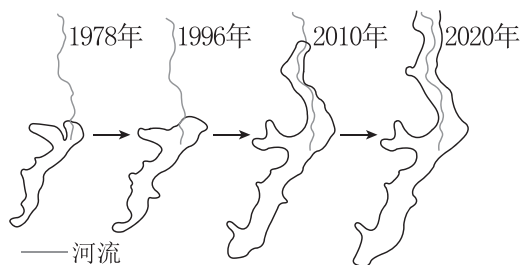
15

答题笔记



4. 日本交通采取靠左行驶的原则,推测山手线内圈与外圈的列车运行方向是 ()
- A. 内圈与外圈均呈顺时针 B. 内圈与外圈均呈逆时针
- C. 内圈呈顺时针,外圈呈逆时针 D. 内圈呈逆时针,外圈呈顺时针
5. “七心”中最可能发展成为东京第一大副都心的是 ()
- A. 池袋 B. 新宿
- C. 涩谷 D. 上野—浅草
6. 东京依托山手线建设“环形+放射状”轨道交通网络可以 ()
- ①疏解城区非核心功能,促进郊区城镇化
- ②限定城市范围,防止城市规模扩张
- ③促进人口向中心集聚,改善郊区居住环境
- ④完善交通网络,提高区域可达性
- A. ①② B. ②③
- C. ③④ D. ①④

[2024·湖北宜荆荆适应性考试] 卖花渔村地处皖南山区,种花、制作盆景的传统始于唐代,是徽派盆景的发源地,因村落形态似鱼形、村民又以卖花为生而得名。1959年人民大会堂会客厅曾摆出徽派盆景;1978年在当地县农业局的支持下,卖花渔村建成盆景展示园;1995年卖花渔村首次接待国际旅行团;2006年卖花渔村通往外界的公路通车。近年来,卖花渔村空间快速扩张。下图示意1978—2020年卖花渔村的空间形态演变过程。据此完成7~9题。



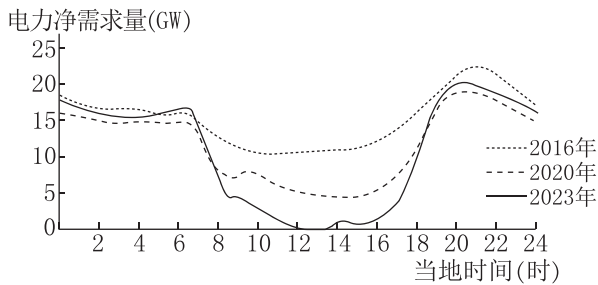
7. 推测卖花渔村的空间形态主要取决于 ()
- A. 气候 B. 地形
- C. 人口 D. 交通
8. 1978年卖花渔村建成盆景展示园的优势条件是 ()
- A. 产业历史悠久 B. 种植技术先进
- C. 靠近东部市场 D. 业内知名度低

[2024·湖北 T8 联盟压轴考] 新疆生产建设兵团第三师红旗农场地处帕米尔高原东部,地势低洼。红旗农场引进专业养殖团队,建室外养殖鱼塘和室内养殖大棚,利用科技和创新,添加一定量的微量元素,调配成适宜不同海产品生长的人工海水,采用棚塘接力的模式培育出了罗非鱼、南美白对虾、斑节虾、青蟹等特色水产品,成功实现在陆地上养殖海鲜。据此完成 1~3 题。

题号	1	2	3	4	5	6	7	8	9	10	11	12	13	14	15
答题区															

- 红旗农场发展海鲜陆养的突出优势条件是 ()
 - 土地廉价
 - 水质独特
 - 水温恒定
 - 交通便利
- 红旗农场采用棚塘接力方式养殖海鲜的直接目的是 ()
 - 提高种苗成活率
 - 提高海鲜品质
 - 扩大海鲜产量
 - 增加海鲜种类
- 红旗农场发展海鲜陆养有利于 ()
 - 变资源劣势为产业优势
 - 挖掘土地综合利用潜力
 - 提高水资源质量
 - 降低土壤盐碱含量
 - ①②
 - ②③
 - ③④
 - ①④

电力净需求量是指电力总需求量与发电量的差值。下图示意加利福尼亚州 2016—2023 年某类发电电力净需求量的变化情况,这种变化给当地电网运营商带来了巨大的挑战。据此完成 4~6 题。



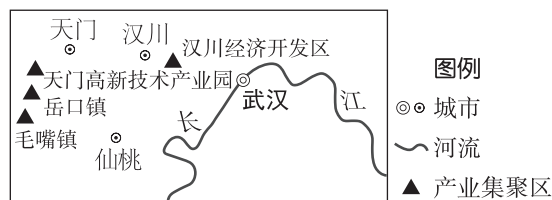
- 推测该类发电电力净需求量的变化反映的是 ()
 - 光伏发电
 - 水能发电
 - 火力发电
 - 风力发电
- 有人建议通过调控电价来保证该类发电供电的稳定性,推测一天中电价最高的时段应是 ()
 - 5:00—7:00
 - 8:00—10:00
 - 12:00—14:00
 - 19:00—21:00

6. 为应对加利福尼亚州该类发电电力净需求量的变化,可采取的措施有 ()

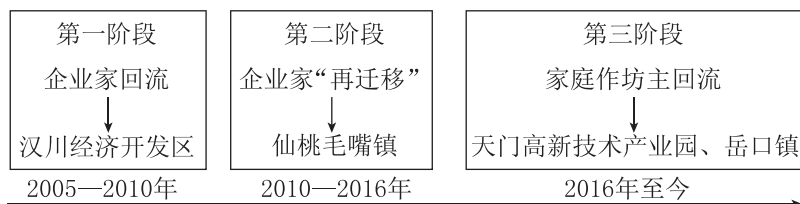
- ①扩大该类发电规模
- ②提高该类发电生产效率
- ③发展电能储存技术
- ④开展多能源互补发电

A. ①② B. ②③ C. ②④ D. ③④

[2024·湖北武汉名校联考] 2005年以后,有大量企业家和外出务工人员从武汉回流至汉川、仙桃、天门等地创业,从事服装生产和经营。图甲为武汉城市圈内的部分城镇和工业园区分布简图,图乙示意回流创业的三个阶段。据此完成7~9题。



甲



乙

7. 2005年以后,武汉市服装企业外迁的主要原因是 ()

- A. 武汉劳动力数量减少
- B. 武汉经济结构转型
- C. 迁入地的技术进步大
- D. 迁入地市场潜力大

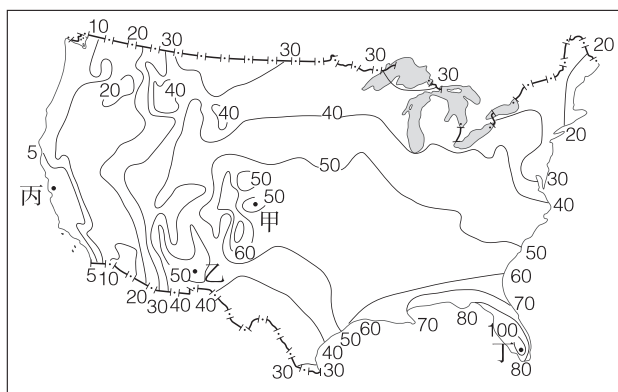
8. 2016年以后,家庭作坊主回流,说明服装行业的变化是 ()

- A. 大规模批量化生产
- B. 机械化程度提高
- C. 小规模定制生产
- D. 高端定制需求大

9. 2016年以后,天门一些农村家庭服装作坊兴起,对当地的主要影响是 ()

- A. 城镇化的进程加快
- B. 土地撂荒严重
- C. 促进产业结构调整
- D. 环境污染大增

[2024·福建莆田二模] 雷暴是暖湿空气强烈上升形成的中小尺度天气系统,下图示意美国本土年均雷暴天数的空间分布(单位:天)。据此完成10~12题。

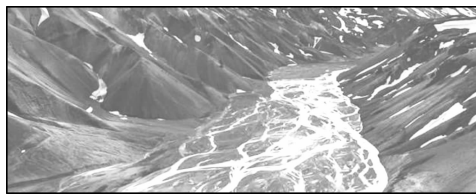


班级
姓名
题号
答案区
1
2
3
4
5
6
7
8
9
10
11
12
13
14
15

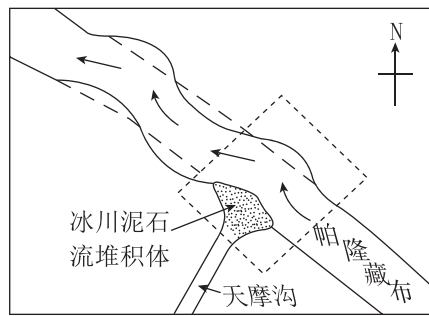
答题笔记

10. 甲、乙两地年均雷暴天数分别可能为 ()
- A. 45天、45天
B. 45天、55天
C. 55天、45天
D. 55天、55天
11. 丙地年均雷暴天数少的主要影响因素是 ()
- A. 水汽含量
B. 盛行风向
C. 地形地势
D. 沿岸寒流
12. 驱动丁地雷暴频繁发生的局地环流为 ()
- A. 海陆风
B. 山谷风
C. 季风
D. 飓风

[2024·湖北黄冈中学二模] 辫状水系多发育于地势平坦处,因河道冲淤变化剧烈,水流散乱,形成形似发辫的水系。帕隆藏布位于雅鲁藏布江大拐弯北侧,属雅鲁藏布江下游一级支流,其支流天摩沟近年发生多次大规模泥石流,大量堆积物通过沟口进入帕隆藏布河道,帕隆藏布河道也由原本窄深的峡谷发育成游荡的辫状。图甲为帕隆藏布天摩沟沟口辫状水系景观图,图乙为天摩沟冰川泥石流堆积体示意图。完成13~15题。



甲



乙

13. 给该地带来大量降水的是 ()
- A. 盛行西风
B. 西南季风
C. 东南季风
D. 东北信风
14. 天摩沟沟口附近由峡谷型河道演变为辫状河道的主要原因是 ()
- A. 径流增加
B. 河道加深
C. 落差减小
D. 河道收窄
15. 关于天摩沟泥石流对帕隆藏布主河床的影响,正确的是 ()
- A. 上游侵蚀加剧
B. 砂砾含量减小
C. 主流摆动增强
D. 河道变得平直

小题快练 3

时间:30分钟 分值:45分

班级

姓名

题号
答题区

1

2

3

4

5

6

7

8

9

10

11

12

13

14

15

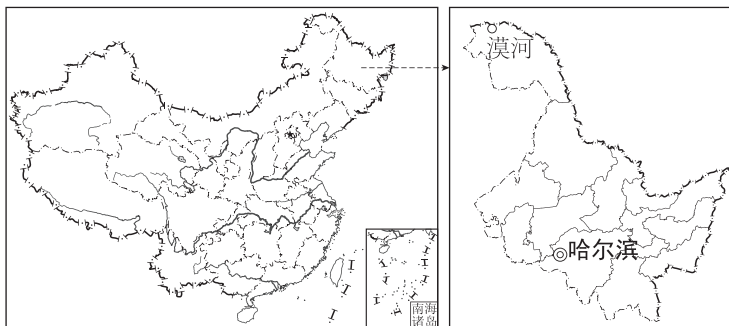
答题笔记

[2024·江西南昌二模] 粮食安全指数是指一个国家或地区在一定时间内,粮食安全状况的综合得分,该得分基于多个指标,包括粮食自给率、储备率、人均粮食占有量等。下表显示2018年东南亚部分国家的粮食安全指数全球排名。据此完成1~3题。

国家	新加坡	菲律宾	缅甸	柬埔寨
全球排名	1	70	82	85

- 新加坡的粮食安全指数被评为全球第一,关键在于该国 ()
 - 粮食自给率高
 - 海关税高
 - 购买力强
 - 消费量大
- 新加坡粮食安全的最大隐患是 ()
 - 粮食进口渠道单一
 - 粮食安全意识薄弱
 - 国际能源价格波动
 - 全球气候异常加剧
- 菲律宾、缅甸、柬埔寨的粮食安全指数较低的主要原因是 ()
 - 农业综合生产能力低
 - 人均消费水平逐渐提高
 - 全球粮食供应链受阻
 - 国家致力于发展高新产业

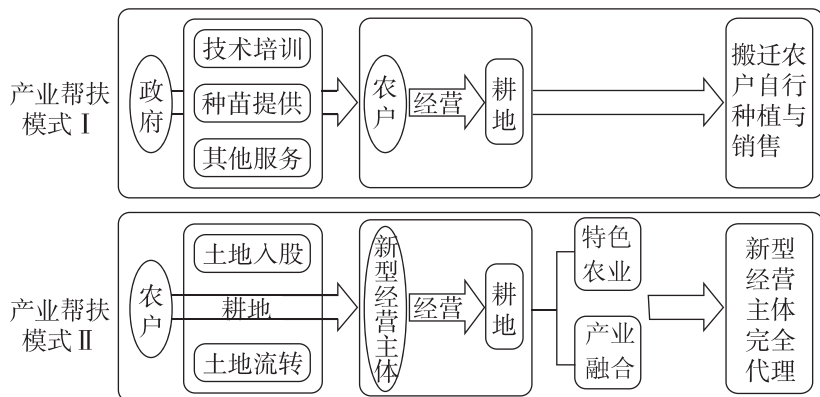
[2024·湖北黄石模拟] “冷资源”催生“热产业”——黑龙江右岸的漠河市北极村的红河谷凭借“冷资源”建立了汽车测试基地,承接寒区测试业务,冰雪与速度的激情碰撞正在搅热最北边陲。下图示意我国版图及黑龙江省、漠河相对位置。据此完成4~6题。



- 新车上市前会进行各类性能测试,以完善设计方案。漠河北极村承接的测试项目最可能有 ()
 - 暴雨防滑
 - 冰雪路面动态操稳
 - 空调制冷性能
 - 电动汽车极温续航性能
 - ①②
 - ①③
 - ③④
 - ②④
- 为充分发挥“冷资源”优势,漠河市应 ()
 - 拓宽汽车之外的极寒性能测试领域
 - 向产业链上游发展汽车研发产业,提高附加值
 - 加强与新疆吐鲁番等热区试车基地合作,分享市场份额
 - 开发试车元素的旅游项目,让游客参与试车操作

6. “冷资源”催热的寒区测试产业还带动了当地餐饮、酒店、运输与冰雪旅游的发展。“热”产业给漠河的影响是 ()
- A. 酒店等基础设施利用率低
B. 收入增加,物价稳定
C. 增加就业,从业岗位稳定
D. 产业结构优化,服务业水平提升

[2024·湖北襄阳五中二模] 异地扶贫搬迁是贫困地区扶贫的重要方式,但“移房不移地”的搬迁方式导致了人地分离,加剧了耕地撂荒现象。贵州省某地属于异地扶贫搬迁人口较为集中的乡镇,为解决耕地撂荒问题,该地采取了如图所示的两种产业发展模式。据此完成7~9题。



7. “移房不移地”的搬迁方式加剧了耕地撂荒现象的主要原因是农产品 ()
- A. 单产增加
B. 价格下降
C. 销量减少
D. 成本提高
8. 与模式 II 相比,模式 I ()
- A. 资源整合程度低
B. 市场适应能力强
C. 农户投入资金多
D. 政府支持力度小
9. 模式 II 中的搬迁农户 ()
- A. 增收渠道多
B. 就业机会少
C. 经营规模大
D. 抗风险能力低

[2024·湖北宜荆荆适应性考试] 黄土碟是分布在黄土高原地区的圆形或椭圆形洼地,其深度一般在2~3米,直径约为10米。黄土碟是地表水下渗并浸湿了黄土层,在重力作用下,地面下沉凹陷而成,是陷穴冲沟发育的一个标志。下图为一处黄土碟景观图。完成10~12题。

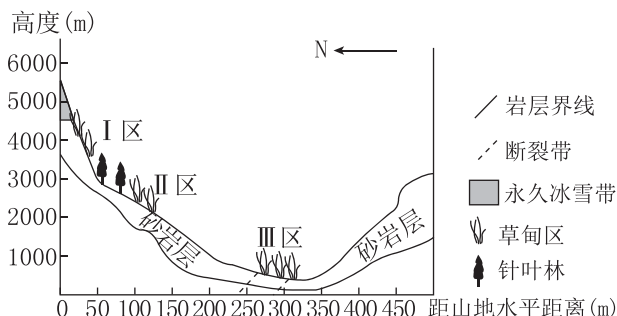


10. 推测黄土碟多位于黄土高原 ()
- ①沟谷沟尾的下方
②沟谷沟头的上方
③南部地区
④北部地区
- A. ①②
B. ②③
C. ③④
D. ①④

11. 黄土碟平面形状呈椭圆形,可能是因为其分布地区 ()
- A. 土层浅薄
B. 土质结实
C. 地势低洼
D. 地面微斜

12. 在黄土碟分布较多的地区进行工程建设时,应特别注意 ()
- A. 增建拦土大坝
B. 远离沟谷坡底
C. 防止水流渗入
D. 增加植被覆盖

[2024·江苏扬州模拟] 我国天山南坡某山地坡地与谷地植被存在着较大差异。山坡风化作用强烈,森林带以上有常年积雪带,山地表层以砂岩层为主,受地形和自然环境的影响较大。谷地较少有人类活动干扰。下图示意该山地地形剖面,I、II、III为该山地的三个草甸区。在全球气候变暖背景下,该山地的植被正在发生着较大的变化。据此完成13~15题。

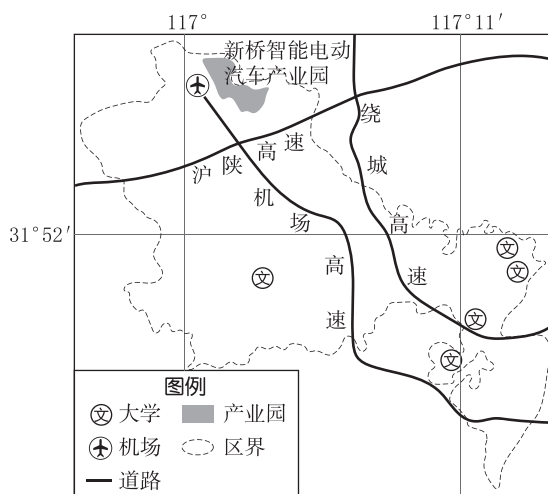


13. 影响谷地北坡海拔 1500 米处自然带分布的主要因素是 ()
- A. 局地环流
B. 水分条件
C. 地形起伏
D. 土壤肥沃
14. 关于图示三个草甸区,叙述正确的是 ()
- A. I区植被类型、数量较多
B. II区范围主要受降水影响
C. III区植被稳定性较好
D. III区水分条件最为优越
15. 全球气候持续变暖,推测该地植被带的变化特点是 ()
- A. 山地森林带下界持续降低
B. 山谷草甸带范围持续变大
C. 山地森林带上界先降低,后升高
D. 谷地生物数量先增多,后减少

大题冲关 1

(20分)[2024·湖北武汉洪山二模] 阅读图文材料,完成下列问题。

2024年全国两会备受关注的热词为“新质生产力”。用新技术改造提升传统产业,积极促进产业高端化、智能化、绿色化,属于新质生产力范畴。安徽合肥市在汽车产业方面正加快发展新质生产力。合肥市汽车产业起步于1968年,形成了一批汽车自主品牌。早在2002年,合肥市汽车产业就开始逐步向新能源汽车转型。2009年,合肥市入选全国首批新能源汽车推广应用城市。2021年,合肥市与W汽车公司规划建设蜀山区新桥智能电动汽车产业园,园区集研发、制造、示范应用、产业配套服务于一体,打造具备完整产业链的世界级智能电动汽车产业集群。右图示意蜀山区新桥智能电动汽车产业园位置。



(1)说明合肥市从2002年开始向新能源汽车转型的主要原因。(6分)

(2)分析蜀山区新桥智能电动汽车产业园的位置优势。(6分)

(3)从培育新质生产力角度,请为新桥产业园发展智能电动汽车提出合理建议。(8分)

大题冲关 2

(16分)[2024·福建三明三模] 阅读图文材料,完成下列要求。

若尔盖高原的景观类型有沼泽、沼泽化草甸和草甸,三者之间可以相互演化。近几十年来,若尔盖高原气候发生明显变化,总体表现出温度升高、降水增加的趋势。沼泽湿地是若尔盖高原湿地的主体,由于自然因素和人类干扰活动的综合影响,若尔盖高原沼泽湿地发生了一定程度的退化。下表为1977年与2007年若尔盖高原景观演化统计表(单位:公顷)。

景观类型	转化为沼泽	转化为沼泽化草甸	转化为草甸
沼泽	53 119	60 011	4641
沼泽化草甸	2355	301 902	99 849
草甸	329	9277	3 718 782

(1)据表分析若尔盖高原景观类型的主要演化模式,并说明判断理由。(4分)

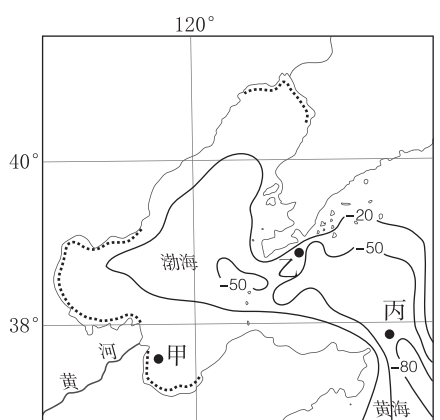
(2)分析近几十年若尔盖高原沼泽湿地退化的原因。(6分)

(3)指出若尔盖高原沼泽湿地可持续利用的措施。(6分)

大题冲关 3

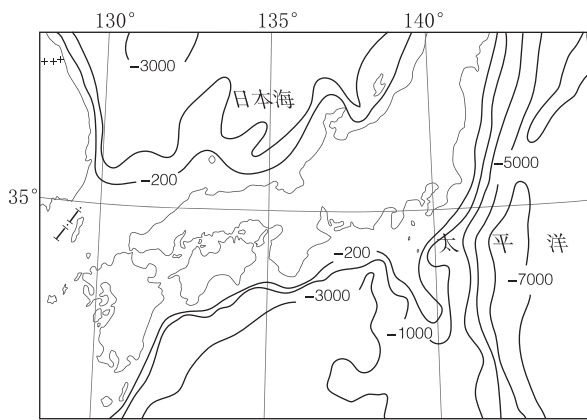
(19分)[2024·湖北黄石二中等校联考] 阅读图文材料,完成下列问题。

建筑用海砂是指分布于海岸和近海的、以中砂和粗砂为主、包括部分细砂和砾石的砂质堆积物。分选良好、品质优良的海砂被广泛应用于城市建设、公路、铁路和桥梁等混凝土结构建筑。日本在 20 世纪 40 年代就已经开始利用海砂配制混凝土,其海砂主要依靠进口,进口量逐年攀升,我国是其主要供应国。近些年来,我国不断扩大海砂的生产规模。图(a)示意渤海、黄海部分海域等深线分布,图(b)示意日本附近部分海域等深线分布。



图例 -20- 等深线(m) 淤泥质海岸

(a)



图例 -200- 等深线(m)

(b)

(1)渤海海域某地的海砂主要由花岗岩发育而成,描述从花岗岩成岩后到形成海岸海砂的主要地质过程。(5分)

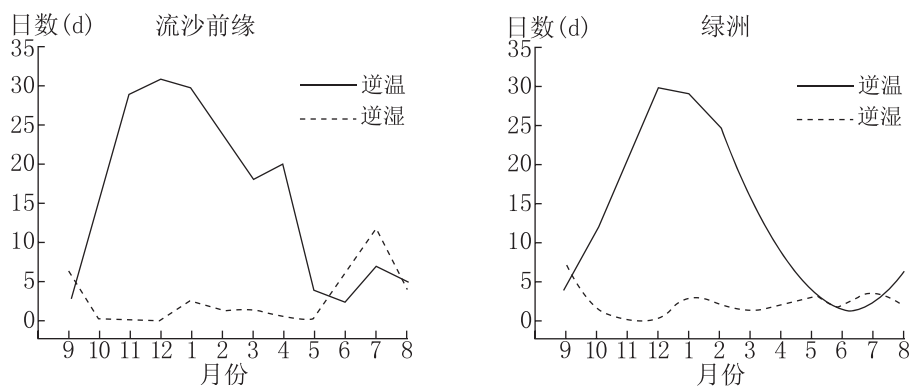
(2)与乙地相比,说明甲、丙两地海砂开发条件较差的主要原因。(6分)

(3)分析海域辽阔的日本从我国大量进口海砂的原因。(8分)

大题冲关 4

(20分)[2024·河北石家庄二模] 阅读图文材料,完成下列要求。

策勒县位于塔克拉玛干沙漠的最南缘,和昆仑山相邻,整体地势南高北低,气候极端干旱,常受风沙侵袭。某科研小组在策勒县流沙前缘与绿洲内部设定了气象站,统计了2010年9月—2011年8月近地面0.5米和2米高处的的气温和大气相对湿度。研究发现,流沙前缘与绿洲存在显著的逆温(气温随高度增加而升高)、逆湿(大气相对湿度随高度升高而降低)现象,且沙漠区逆湿多发生在白天,逆温多发生在夜间。下图为策勒县流沙前缘与绿洲逆温、逆湿日数对比图。



(1)指出策勒县流沙前缘与绿洲内部逆温、逆湿特征的主要差异。(4分)

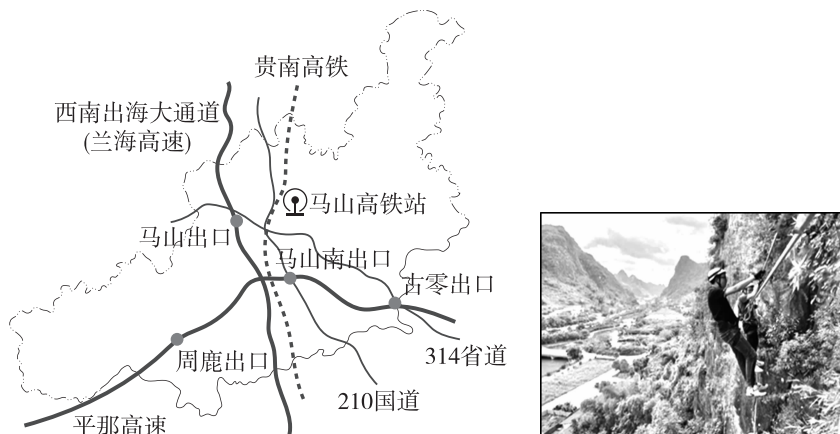
(2)分析策勒县冬季更易发生逆温现象的原因。(6分)

(3)分析沙漠区逆湿多发生在白天、逆温多发生在夜间的原因。(10分)

大题冲关 5

(19分)[2024·江苏宜兴模拟] 阅读图文材料,完成下列要求。

广西马山县位于广西中部,是典型的大石山区,石山丛立错落、道路崎岖,经济基础较为薄弱,2002年被国务院确定为全国新阶段扶贫开发工作重点县。马山县通过推广攀岩特色体育小镇产业融合发展模式,开展攀岩、夏令营、骑行、山地马拉松、壮族民歌、研学旅行等活动,立足马山生态、文化和山地资源优势,不断深化“体育+”“文旅+”模式。全县每年乡村旅游接待人数占全县旅游接待总人数的60%以上,特色小镇在助力脱贫增收方面发挥的作用日益突显。下图为马山县部分交通网络图和攀岩景观图。



(1)简述马山县发展“体育+”“文旅+”产业的优势条件。(5分)

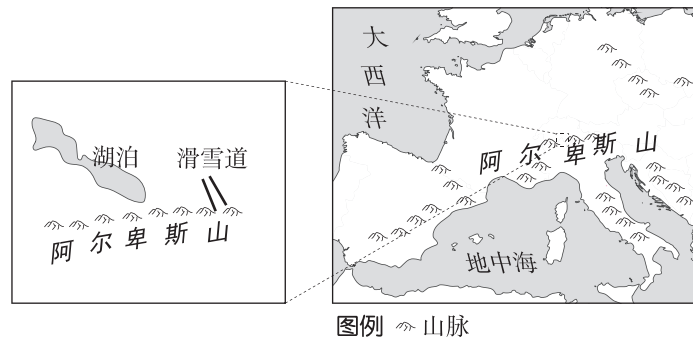
(2)马山县通过“体育+”“文旅+”发展带来巨大红利,本地居民从中直接获益的途径可能有哪些?(6分)

(3)简述马山县的发展对其他地区乡村振兴的启示。(8分)

大题冲关 6

(18分)[2024·江西上饶模拟] 阅读图文材料,完成下列问题。

阿尔卑斯山区是世界著名的滑雪胜地。1987年意大利在其境内的阿尔卑斯山区清除了部分原生植被,修筑了斯泰尔维奥滑雪场(位置见下图)。十几年后,滑雪场附近出现冻土融化坍塌,形成洼地,位于滑雪道下方的洼地扩大速度最快。阿尔卑斯山山地植被景观丰富,垂直分异明显。



(1)从坡向因素角度分析斯泰尔维奥滑雪场选址的合理性。(6分)

(2)推测滑雪场附近冻土融化的原因。(6分)

(3)试判断阿尔卑斯山南、北坡雪线差异,并分析其原因。(6分)